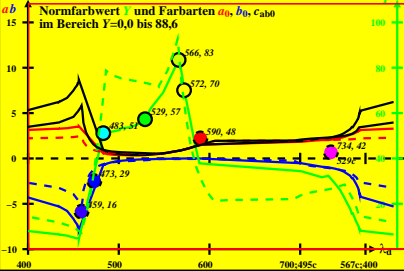
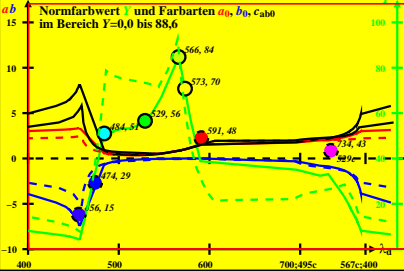


CIE-P60-Daten von -Ostwald-Farben von maximalem Buntwert  $C_{AB}$   
 $Y_w=88,6$ ,  $Y_m=520\_770$ ,  $B_m=380\_520$  und  $sRGB$ -Daten ( - - )

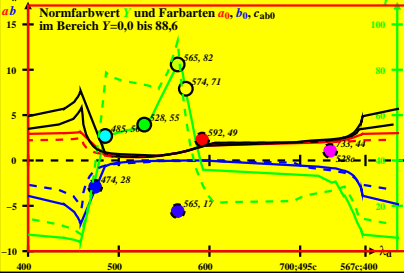


**CIE-P55-Daten von -Ostwald-Farben von maximalem Buntwert  $C_{AB}$**   
 $Y_w=88,6$ ,  $Y_m=520\_770$ ,  $B_m=380\_520$  und *sRGB*-Daten ( - - )



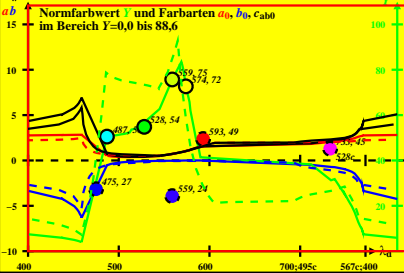
CIE-P50-Daten von -Ostwald-Farben von maximalem Buntwert  $C_{AB}$   
 $Y_w=88,6$ ,  $Y_m=520\_770$ ,  $B_m=380\_520$  und *sRGB*-Daten ( - - )

*ab* Normfarbwert  $Y$  und Farbarten  $a_0, b_0, c_{ab0}$   
 im Bereich  $Y=0,0$  bis  $88,6$



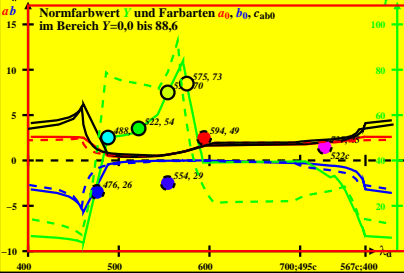
**CIE-P45-Daten von -Ostwald-Farben von maximalem Buntwert  $C_{AB}$**   
 $Y_w=88,6$ ,  $Y_m=520\_770$ ,  $B_m=380\_520$  und  $sRGB$ -Daten ( - - )

**ab** Normfarbwert  $Y$  und Farbarten  $a_0, b_0, c_{ab0}$   
 im Bereich  $Y=0,0$  bis  $88,6$



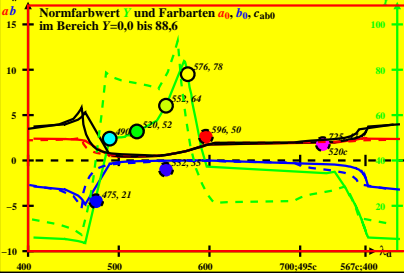
**CIE-P40-Daten von -Ostwald-Farben von maximalem Buntwert  $C_{AB}$**   
 $Y_w=88,6$ ,  $Y_m=520\_770$ ,  $B_m=380\_520$  und *sRGB*-Daten ( - - )

*ab* Normfarbwert  $Y$  und Farbarten  $a_0, b_0, c_{ab0}$   
 im Bereich  $Y=0,0$  bis  $88,6$

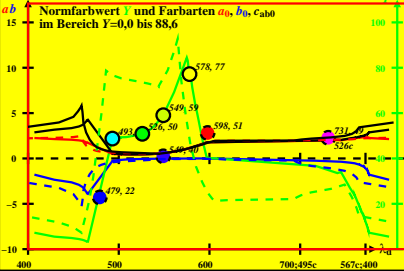


**CIE-P35-Daten von -Ostwald-Farben von maximalem Buntwert  $C_{AB}$**   
 $Y_w=88,6, Y_m=520\_770, B_m=380\_520$  und *sRGB*-Daten ( - - )

*ab* Normfarbwert  $Y$  und Farbarten  $a_0, b_0, c_{ab0}$   
 im Bereich  $Y=0,0$  bis  $88,6$



**CIE-P30-Daten von -Ostwald-Farben von maximalem Buntwert  $C_{AB}$**   
 $Y_w=88,6$ ,  $Y_m=520\_770$ ,  $B_m=380\_520$  und  $sRGB$ -Daten ( - - )

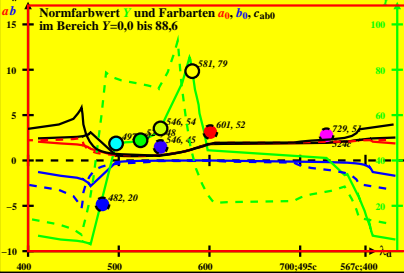


0-000030-L0

DG081-8A\_8\_7

**CIE-P25-Daten von -Ostwald-Farben von maximalem Buntwert  $C_{AB}$**   
 $Y_w=88,6, Y_m=520\_770, B_m=380\_520$  und *sRGB*-Daten ( - - )

**ab** Normfarbwert  $Y$  und Farbarten  $a_0, b_0, c_{ab0}$   
 im Bereich  $Y=0,0$  bis  $88,6$



0-000030-L0

DG081-8A\_8\_8